

**РЕШЕНИЕ ТРЕХМЕРНЫХ НЕСТАЦИОНАРНЫХ ЗАДАЧ  
ИМПУЛЬСНОЙ ЭЛЕКТРОРАЗВЕДКИ**

**М. И. Иванов<sup>1</sup>, В. А. Катешов<sup>1</sup>, И. А. Кремер<sup>1</sup>, М. В. Урев<sup>2</sup>**

<sup>1</sup>ЗАО «Центр Ритм», г. Новосибирск

E-mail: Kremer@aoitn.com

<sup>2</sup>Институт вычислительной математики и математической геофизики СО РАН,

г. Новосибирск

E-mail: urev@nmsf.sccc.ru

Рассматриваются вопросы расчета нестационарных электромагнитных полей в трехмерных кусочно-однородных по проводимости средах. Используются потенциальные постановки задач во временной области. Предлагается подход к решению таких задач. Вычислительная устойчивость этого метода на поздних временах проверена на модельном примере.

**Введение.** В представленной работе исследуются вопросы моделирования трехмерных квазистационарных электромагнитных полей, возникающих в электроразведке при применении метода становления. Рассматривается случай полного отключения источника, в качестве которого взята горизонтальная электрическая линия (ГЭЛ). По характеру становления полей судят об электрических параметрах сред.

Предлагаемая работа является логическим продолжением исследований, проведенных в [1]. Совместное использование скалярного магнитного потенциала в непроводящих средах и векторного магнитного потенциала в проводящих средах рассмотрено в [2]. В данной работе развивается такой подход для случая, когда электрическое поле содержит потенциальную часть. Интегрирование по времени системы уравнений в проводящих средах производится по схеме Кранка – Николсона. Изменение скалярного магнитного потенциала во времени обусловлено только нестационарными процессами в проводящих средах. Эта связь выражается в явном виде как следствие непрерывности касательных компонент и скачка нормальных компонент напряженности магнитного поля на границах проводящих и непроводящих сред. Скалярный магнитный потенциал вычисляется на половинных временных шагах, а векторный потенциал – на целых временных шагах. По сравнению с [2] такая организация вычислительного процесса приводит к последовательному решению задач меньшей размерности с симметричными операторами. Решение скалярных уравнений осуществляется методом скалярных

конечных элементов второго порядка, а векторных уравнений – методом векторных конечных элементов Неделека первого порядка второго типа [3, 4]. Векторные нестационарные вариационные постановки задач включают множители Лагранжа, регулирующие дивергентные свойства искоемых векторных величин и обеспечивающие устойчивость счета на поздних временах.

Целью данной работы является численное исследование вопросов устойчивости предложенной вычислительной схемы на модельном примере. Используются известные функциональные пространства  $H^1(\Omega)$ ,  $\mathbf{H}(\text{rot}, \Omega)$  и их подпространства из [5].

**Постановка задачи.** Описание структуры расчетной области  $\Omega$  и сопутствующие обозначения приведены в [1] при постановке стационарной задачи. Для нестационарных источников полей, описываемых плотностью стороннего тока  $\mathbf{j}^{\text{ct}}$ , рассматривается система уравнений Максвелла в квазистационарном приближении:

$$\text{rot} \mathbf{E} + \mu \frac{\partial \mathbf{H}}{\partial t} = \mathbf{0}; \quad \text{div}(\sigma \mathbf{E} + \mathbf{j}^{\text{ct}}) = 0; \quad \text{div} \mathbf{E}^0 = 0, \quad (1)$$

$$\text{rot} \mathbf{H} = \sigma \mathbf{E} + \mathbf{j}^{\text{ct}}; \quad \text{div} \mu \mathbf{H} = 0. \quad (2)$$

На границах раздела сред  $S^{k,l}$  выполняются условия сопряжения

$$\mathbf{E}^k \times \mathbf{n}_{k,l} = \mathbf{E}^l \times \mathbf{n}_{k,l}; \quad \sigma_k \mathbf{E}^k \cdot \mathbf{n}_{k,l} = \sigma_l \mathbf{E}^l \cdot \mathbf{n}_{k,l}, \quad (3)$$

$$\mathbf{H}^k \times \mathbf{n}_{k,l} = \mathbf{H}^l \times \mathbf{n}_{k,l}; \quad \mu_k \mathbf{H}^k \cdot \mathbf{n}_{k,l} = \mu_l \mathbf{H}^l \cdot \mathbf{n}_{k,l}. \quad (4)$$

Считаем, что внешняя граница области  $\Gamma$  достаточно удалена от источников и на ней выполняются неоднородные условия

$$\mathbf{E} \times \mathbf{n} = \mathbf{E}_{\text{н}} \times \mathbf{n}; \quad \mathbf{H} \cdot \mathbf{n} = \mathbf{H}_{\text{н}} \cdot \mathbf{n}, \quad (5)$$

смысл которых будет уточнен далее. На поверхности земли  $\Gamma_3$  условие сопряжения для нормальной компоненты электрического поля переходит в условие

$$\mathbf{E} \cdot \mathbf{n}_{1,0} = 0. \quad (6)$$

Рассмотрим случай, когда источником является заземленная ГЭЛ, расположенная в подобласти  $\Omega_1$  на прямой, параллельной оси  $OX$ . Диаметр сечения линии существенно меньше размеров рассматриваемой области. Пусть концы линии размещены в точках  $\mathbf{A}, \mathbf{B}$ :  $\mathbf{A} = (x_A, y_A, z_A)$ ,  $\mathbf{B} = (x_B, y_A, z_A)$ . В начальный момент времени по линии из точки  $\mathbf{A}$  в точку  $\mathbf{B}$  течет постоянный ток  $I^{\text{ct}}$ , который поддерживается внешней ЭДС. Затем ЭДС отключается. Плотность стороннего тока ГЭЛ выражается в виде

$$\mathbf{j}^{\text{ct}} = (j_x, 0, 0), \quad j_x = I^{\text{ct}}(1 - \theta(t))(\theta(x - x_A) - \theta(x - x_B))\delta(y - y_A)\delta(z - z_A),$$

где  $\theta(t)$  – функция Хевисайда, а  $\delta(t)$  – функция Дирака.

Далее будем полагать, что  $\mu_k = \mu_0 = \mu = \text{const}$ . Решение задачи содержит сингулярность, связанную с особенностью в источнике

$$\text{div } \mathbf{j}^{\text{ct}} = I^{\text{ct}} (1 - \theta(t)) (\delta(x - x_A) - \delta(x - x_B)) \delta(y - y_A) \delta(z - z_A),$$

поэтому представим искомые поля в виде суммы первичных и аномальных полей:

$$\mathbf{E} = \mathbf{E}_n + \mathbf{E}_a, \quad \mathbf{H} = \mathbf{H}_n + \mathbf{H}_a.$$

Первичные поля удовлетворяют следующей краевой задаче, сформулированной для проводящего однородного полупространства  $z < 0$  с проводимостью  $\sigma_1$  и непроводящего полупространства  $z > 0$ :

$$\begin{cases} \text{rot } \mathbf{E}_n + \mu \frac{\partial \mathbf{H}_n}{\partial t} = \mathbf{0}, \\ \text{div } \mu \mathbf{H}_n = 0 \end{cases} \quad \text{в } R^3, \quad (7)$$

$$\begin{cases} \text{rot } \mathbf{H}_n = \sigma_1 \mathbf{E} + \mathbf{j}^{\text{ct}}, \\ \text{div } (\sigma_1 \mathbf{E}_n + \mathbf{j}^{\text{ct}}) = 0 \end{cases} \quad \text{при } z < 0, \quad (8)$$

$$\begin{cases} \text{rot } \mathbf{H}_n = \mathbf{0}, \\ \text{div } \mathbf{E}_n = 0 \end{cases} \quad \text{при } z > 0. \quad (9)$$

На поверхности земли  $z = 0$  выполняются условия непрерывности касательных компонент первичных полей. Непрерывна и нормальная компонента первичного магнитного поля. Для нормальной компоненты первичного электрического поля выполнено

$$\mathbf{E}_n \cdot \mathbf{n}_{1,0} = 0 \quad \text{при } z = 0. \quad (10)$$

На бесконечности

$$\mathbf{E}_n \rightarrow \mathbf{0}; \quad \mathbf{H}_n \rightarrow \mathbf{0}. \quad (11)$$

Задача (7)–(11) дополняется значениями первичных полей в начальный момент времени [1]. Ее решение, основанное на классическом решении задачи теплопроводности [6], получается в аналитическом виде в терминах интегралов от функций Бесселя. Далее будем предполагать, что первичные поля заданы как векторные функции, определенные в каждой точке пространства в каждый момент времени. Значения  $\mathbf{E}_n$  и  $\mathbf{H}_n$  на границе  $\Gamma$  определяют условия (5) для полей  $\mathbf{E}$  и  $\mathbf{H}$  на этой границе. Наличие аномальных полей вызвано неоднородностью проводящих сред  $\Omega^c := \Omega \setminus \overline{\Omega}_0$ .

Сформулируем задачу для аномальных полей. Будем рассматривать отдельно воздух  $\Omega_0$  и проводящие среды  $\Omega^c$ . Задача формулируется в огра-

ниченной области  $\Omega$ , как и исходная задача:

$$\operatorname{rot} \mathbf{E}_a + \mu \frac{\partial \mathbf{H}_a}{\partial t} = \mathbf{0}; \quad \operatorname{div} \sigma \mathbf{E}_a = 0 \quad \text{в } \Omega^c, \quad (12)$$

$$\operatorname{rot} \mathbf{H}_a = \sigma \mathbf{E}_a + (\sigma - \sigma_1) \mathbf{E}_n \quad \text{в } \Omega^c, \quad (13)$$

$$\operatorname{rot} \mathbf{H}_a = \mathbf{0} \quad \text{в } \Omega_0, \quad (14)$$

$$\operatorname{div} \mu \mathbf{H} = 0 \quad \text{в } \Omega. \quad (15)$$

На границах раздела сред  $S^{k,l}$  выполняются следующие условия сопряжения:

$$\mathbf{E}_a^k \times \mathbf{n}_{k,l} = \mathbf{E}_a^l \times \mathbf{n}_{k,l}, \quad (16)$$

$$\sigma_k \mathbf{E}_a^k \cdot \mathbf{n}_{k,l} - \sigma_l \mathbf{E}_a^l \cdot \mathbf{n}_{k,l} = (\sigma_l - \sigma_k) \mathbf{E}_n \cdot \mathbf{n}_{k,l}, \quad (17)$$

$$\mathbf{H}_a^k \times \mathbf{n}_{k,l} = \mathbf{H}_a^l \times \mathbf{n}_{k,l}; \quad \mathbf{H}_a^k \cdot \mathbf{n}_{k,l} = \mathbf{H}_a^l \cdot \mathbf{n}_{k,l}. \quad (18)$$

На поверхности земли  $\Gamma_3$  в силу (10) условие сопряжения (17) переходит в условие

$$\sigma_1 \mathbf{E}_a \cdot \mathbf{n}_{1,0} = 0. \quad (19)$$

На внешней границе области  $\Gamma$  выполняются условия

$$\mathbf{E}_a \times \mathbf{n} = \mathbf{0}; \quad \mathbf{H}_a \cdot \mathbf{n} = 0. \quad (20)$$

Система (12)–(20) дополняется начальными условиями [1]:

$$\mathbf{E}_a|_{t=0} = \mathbf{E}_a^0; \quad \mathbf{H}_a|_{t=0} = \mathbf{H}_a^0. \quad (21)$$

**Вариационные формулировки задач для аномальных полей в терминах потенциалов.** Аналогично [1] для описания аномальных полей вводится скалярный магнитный потенциал  $\Phi$  в  $\Omega_0$  и векторный магнитный потенциал  $\mathbf{A}$  в проводящих средах  $\Omega^c$  с калибровочным условием:

$$\mathbf{H}_a = \begin{cases} -\nabla \Phi & \text{в } \Omega_0, \\ (1/\mu) \operatorname{rot} \mathbf{A}, \operatorname{div} \sigma \mathbf{A} = 0 & \text{в } \Omega^c. \end{cases}$$

В этом случае напряженность аномального электрического поля  $\mathbf{E}_a$  в подобласти  $\Omega^c$  может быть представлена в виде  $\mathbf{E}_a = -\frac{\partial \mathbf{A}}{\partial t} - \nabla U$ . Перепишем уравнения (12)–(21) в терминах потенциалов:

$$-\operatorname{div} \mu \nabla \Phi = 0 \quad \text{в } \Omega_0, \quad (22)$$

$$\Phi = 0 \text{ на } \Gamma \cap \overline{\Omega}_0, \quad (23)$$

$$\operatorname{rot} \frac{1}{\mu} \operatorname{rot} \mathbf{A} + \sigma \frac{\partial \mathbf{A}}{\partial t} + \sigma \nabla U = (\sigma - \sigma_1) \mathbf{E}_n \text{ в } \Omega^c, \quad (24)$$

$$\operatorname{div} \sigma \mathbf{A} = 0 \text{ в } \Omega^c, \quad (25)$$

$$\mathbf{A} \times \mathbf{n} = \mathbf{0} \text{ на } \Gamma \cap \overline{\Omega}^c. \quad (26)$$

Условия сопряжения на границах раздела сред имеют следующий вид:

$$-\mu \nabla \Phi \cdot \mathbf{n}_{1,0} = \operatorname{rot} \mathbf{A}^1 \cdot \mathbf{n}_{1,0} \text{ на } \Gamma_3, \quad (27)$$

$$-\nabla \Phi \times \mathbf{n}_{1,0} = \frac{1}{\mu} \operatorname{rot} \mathbf{A}^1 \times \mathbf{n}_{1,0} \text{ на } \Gamma_3, \quad (28)$$

$$\frac{1}{\mu} \operatorname{rot} \mathbf{A}^k \times \mathbf{n}_{k,l} = \frac{1}{\mu} \operatorname{rot} \mathbf{A}^l \times \mathbf{n}_{k,l} \text{ на } S^{k,l}, \quad (29)$$

$$\sigma_k \mathbf{A}^k \cdot \mathbf{n}_{k,l} = \sigma_l \mathbf{A}^l \cdot \mathbf{n}_{k,l} \text{ на } S^{k,l}. \quad (30)$$

Приведем условия сопряжения для потенциала  $U$  на границах раздела сред  $S^{k,l}$ . Возьмем дивергенцию от (24) и рассмотрим результат ее применения на поверхностях  $S^{k,l}$ . Используя выражение  $\mathbf{E}_a$  через потенциалы и соотношения (17), (30), получим

$$\sigma_k \nabla U^k \cdot \mathbf{n}_{k,l} - \sigma_l \nabla U^l \cdot \mathbf{n}_{k,l} = (\sigma_k - \sigma_l) \mathbf{E}_n \cdot \mathbf{n}_{k,l}. \quad (31)$$

На поверхности земли  $\Gamma_3$  условие (31) переходит в

$$\sigma_1 \nabla U^1 \cdot \mathbf{n}_{1,0} = 0. \quad (32)$$

Из системы (24)–(32) можно получить замкнутую формулировку задачи для электрического потенциала  $U$ :

$$\operatorname{div}(\sigma \nabla U) = 0 \text{ в } \Omega^c, \quad (33)$$

$$\sigma_1 \nabla U^1 \cdot \mathbf{n}_{1,0} = 0 \text{ на } \Gamma_3, \quad (34)$$

$$\sigma_k \nabla U^k \cdot \mathbf{n}_{k,l} - \sigma_l \nabla U^l \cdot \mathbf{n}_{k,l} = (\sigma_k - \sigma_l) \mathbf{E}_n \cdot \mathbf{n}_{k,l} \text{ на } S^{k,l}, \quad (35)$$

$$U = 0 \text{ на } \Gamma \cap \overline{\Omega}^c. \quad (36)$$

Электрический потенциал  $U$  может быть вычислен в каждый момент времени и зависит только от текущих значений первичного электрического поля

$\mathbf{E}_n$  на границах раздела проводящих сред  $S^{k,l}$ . В уравнении (24) слагаемое с потенциалом перенесем в правую часть и введем множители Лагранжа  $P$ :

$$\operatorname{rot} \frac{1}{\mu} \operatorname{rot} \mathbf{A} + \sigma \frac{\partial \mathbf{A}}{\partial t} - \sigma \nabla P = (\sigma - \sigma_1) \mathbf{E}_n - \sigma \nabla U \quad \text{в } \Omega^c. \quad (37)$$

Дополним задачу краевыми условиями

$$\nabla P \cdot \mathbf{n}_{1,0} = 0 \quad \text{на } \Gamma_3, \quad (38)$$

$$P = 0 \quad \text{на } \Gamma \cap \overline{\Omega}^c. \quad (39)$$

Будем считать, что начальные данные известны [1]:

$$\mathbf{A}|_{t=0} = \mathbf{A}^0, \quad \Phi|_{t=0} = \Phi^0.$$

Сформулируем обобщенные задачи. Задача для магнитного скалярного потенциала  $\Phi$  решается с использованием подпространства функций  $H_\Phi \subset H^1(\Omega_0)$  с нулевым следом на границе  $\Gamma \cap \Omega_0$ . Для векторного магнитного потенциала  $\mathbf{A}$  вводится подпространство функций  $\mathbf{H}_A \subset \mathbf{H}(\operatorname{rot}, \Omega^c)$  с нулевым касательным следом на границе  $\Gamma \cap \overline{\Omega}^c$ . Для множителя Лагранжа и скалярного электрического потенциала вводится подпространство  $H_U \subset C^0((0, T); H_U)$  с нулевым следом на границе  $\Gamma \cap \overline{\Omega}^c$ . Сначала сформулируем обобщенную задачу, соответствующую задаче (33)–(36) для скалярного потенциала  $U$ .

Требуется найти функцию  $U \in C^0((0, T); H_U)$  такую, что  $\forall t \in (0, T)$  и  $\forall V \in H_U$  выполнено

$$\int_{\Omega^c} \sigma \nabla U \cdot \nabla V d\Omega = \sum_{k,l \neq 1,0} \int_{S^{k,l}} V (\sigma_k - \sigma_l) \mathbf{E}_n \cdot \mathbf{n}_{k,l} dS. \quad (40)$$

Далее сформулируем задачи для магнитных потенциалов и множителя Лагранжа, соответствующие задачам (25)–(30), (37)–(39), при этом считаем, что скалярный электрический потенциал  $U$  есть известная функция, определенная из (40).

Требуется найти функции  $\Phi \in C^0((0, T); H_\Phi)$ ,  $(\mathbf{A}, P) \in C^1((0, T); \mathbf{H}_A) \times C^0((0, T); H_U)$  такие, что  $\forall t \in (0, T)$  и  $\forall W \in H_\Phi$ ,  $\forall (\mathbf{B}, V) \in \mathbf{H}_A \times H_U$  выполнены

$$\begin{aligned} \int_{\Omega_0} \mu \nabla \Phi \cdot \nabla W d\Omega &= - \int_{\Gamma_3} W \operatorname{rot} \mathbf{A} \cdot \mathbf{n}_{1,0} dS, \\ \int_{\Omega^c} \frac{1}{\mu} \operatorname{rot} \mathbf{A} \cdot \operatorname{rot} \mathbf{B} d\Omega + \frac{\partial}{\partial t} \int_{\Omega^c} \sigma \mathbf{A} \cdot \mathbf{B} d\Omega - \int_{\Omega^c} \sigma \nabla P \cdot \mathbf{B} d\Omega &= \\ = \int_{\Omega^c} (\sigma - \sigma_1) \mathbf{E}_n \cdot \mathbf{B} d\Omega - \int_{\Omega^c} \sigma \nabla U \cdot \mathbf{B} d\Omega - \int_{\Gamma_3} \nabla \Phi \times \mathbf{n}_{1,0} \cdot \mathbf{B} dS, \end{aligned}$$

$$-\int_{\Omega^c} \sigma \mathbf{A} \cdot \nabla V d\Omega = 0.$$

Здесь во втором уравнении интегралом по границе  $\Gamma_3$  обозначено отношение двойственности между пространством тангенциальных следов функций из  $\mathbf{H}_A$  и его сопряженным пространством. Если достаточно гладкие функции  $\Phi, \mathbf{A}, P$  являются решением вариационных уравнений приведенной системы, то, используя формулы Грина, можно показать, что эти функции удовлетворяют дифференциальным задачам (25)–(30), (37)–(39). Для похожей задачи такая процедура подробно проделана, например, в [2].

**Численная реализация.** Пусть имеется регулярное семейство  $T^h$  триангуляций области  $\Omega$ , для которого выполнено условие квазиравномерности. Обозначим через  $S_h$  и  $F_h$  пространства конечных элементов второго порядка, конформных в пространствах  $H^1(\Omega^c)$  и  $H^1(\Omega_0)$ , а через  $\mathbf{V}_h$  пространство элементов Неделека первого порядка второго типа, конформных в пространстве  $\mathbf{H}(\text{rot}, \Omega^c)$ . Степени свободы функций из пространств  $S_h$  и  $F_h$  связаны со значениями функций в узлах и серединах ребер триангуляции, а степени свободы функций из пространства  $\mathbf{V}_h$  – с моментами векторных функций на ребрах триангуляции. Введем пространства  $Q_h = F_h \cap H_\Phi$ ,  $\mathbf{X}_h = \mathbf{V}_h \cap \mathbf{H}_A$  и  $Y_h = S_h \cap H_U$ . Можно сформулировать следующие конечномерные по пространственным переменным аналоги проекционных задач для аномальных полей.

Требуется найти функцию  $U_h \in C^0((0, T); Y_h)$  такую, что  $\forall t \in (0, T)$  и  $\forall V_h \in Y_h$  выполнено

$$\int_{\Omega^c} \sigma \nabla U_h \cdot \nabla V_h d\Omega = \sum_{k, l \neq 1, 0} \int_{S^{k, l}} V_h (\sigma_k - \sigma_l) \mathbf{E}_n \cdot \mathbf{n}_{k, l} dS.$$

Требуется найти функции  $\Phi_h \in C^0((0, T); Q_h)$ ,  $(\mathbf{A}_h, P_h) \in C^1((0, T); \mathbf{X}_h) \times C^0((0, T); Y_h)$  такие, что  $\forall t \in (0, T)$ ,  $\forall W_h \in Q_h$  и  $\forall (\mathbf{B}_h, V_h) \in \mathbf{X}_h \times Y_h$  выполнены

$$\begin{aligned} \int_{\Omega_0} \mu \nabla \Phi_h \cdot \nabla W_h d\Omega &= - \int_{\Gamma_3} W_h \text{rot } \mathbf{A}_h \cdot \mathbf{n}_{1, 0} dS, \\ \int_{\Omega^c} \frac{1}{\mu} \text{rot } \mathbf{A}_h \cdot \text{rot } \mathbf{B}_h d\Omega + \frac{\partial}{\partial t} \int_{\Omega^c} \sigma \mathbf{A}_h \cdot \mathbf{B}_h d\Omega - \int_{\Omega^c} \sigma \nabla P_h \cdot \mathbf{B}_h d\Omega &= \\ = \int_{\Omega^c} (\sigma - \sigma_1) \mathbf{E}_n \cdot \mathbf{B}_h d\Omega - \int_{\Omega^c} \sigma \nabla U_h \cdot \mathbf{B}_h d\Omega - \int_{\Gamma_3} \nabla \Phi_h \times \mathbf{n}_{1, 0} \cdot \mathbf{B}_h dS, \\ - \int_{\Omega^c} \sigma \mathbf{A}_h \cdot \nabla V_h d\Omega &= 0. \end{aligned}$$

Перейдем к формулировке системы линейных алгебраических уравнений. Для этого введем базисы пространств  $Q_h$ ,  $\mathbf{X}_h$  и  $Y_h$ :

$$Q_h = \text{span} \{\varphi_k, k = \overline{1, N_Q}\}; \quad \mathbf{X}_h = \text{span} \{\mathbf{N}_i, i = \overline{1, N_X}\};$$

$$Y_h = \text{span} \{ \psi_k, k = \overline{1, N_Y} \}.$$

Искомые функции  $U_h \in C^0((0, T); Y_h)$ ,  $\Phi_h \in C^0((0, T); Q_h)$ ,  $\mathbf{A}_h \in C^1((0, T); \mathbf{X}_h)$ ,  $P_h \in C^0((0, T); Y_h)$  могут быть представлены в виде

$$U_h = \sum_{l=1}^{N_Y} u_l \psi_l, \quad \Phi_h = \sum_{k=1}^{N_Q} f_k \phi_k, \quad \mathbf{A}_h = \sum_{j=1}^{N_X} a_j \mathbf{N}_j, \quad P_h = \sum_{l=1}^{N_Y} p_l \psi_l.$$

Конечномерные проекционные задачи записываются относительно неизвестных коэффициентов разложения, зависящих от времени:

$$\begin{aligned} \mathbf{C}\Phi &= \mathbf{G}(\mathbf{A}), \quad \mathbf{L}\mathbf{U} = \mathbf{E}, \\ \left\{ \begin{aligned} \mathbf{A}\mathbf{A} + \frac{\partial}{\partial t} \mathbf{M}\mathbf{A} - \mathbf{B}^T \mathbf{P} &= \mathbf{F}(\Phi, \mathbf{U}), \\ -\mathbf{B}\mathbf{A} &= \mathbf{0}. \end{aligned} \right. \end{aligned}$$

Здесь использовались следующие матрично-векторные обозначения:

$$\mathbf{U} = \{u_l, l = \overline{1, N_Y}\}^T; \quad \Phi = \{f_k, k = \overline{1, N_Q}\}^T;$$

$$\mathbf{A} = \{a_j, j = \overline{1, N_X}\}^T; \quad \mathbf{P} = \{p_l, l = \overline{1, N_Y}\}^T;$$

$$\mathbf{A} = \left\{ \int_{\Omega^c} (1/\mu) \text{rot} \mathbf{N}_i \cdot \text{rot} \mathbf{N}_j d\Omega, i, j = \overline{1, N_X} \right\};$$

$$\mathbf{B} = \left\{ \int_{\Omega^c} \sigma \nabla \psi_k \cdot \mathbf{N}_i d\Omega, k = \overline{1, N_Y}, i = \overline{1, N_X} \right\};$$

$$\mathbf{M} = \left\{ \int_{\Omega^c} \sigma \mathbf{N}_i \cdot \mathbf{N}_j d\mathbf{x}, i, j = \overline{1, N_X} \right\}; \quad \mathbf{C} = \left\{ \int_{\Omega_0} \mu \nabla \phi_k \cdot \nabla \phi_i d\Omega, k, i = \overline{1, N_Q} \right\};$$

$$\mathbf{L} = \left\{ \int_{\Omega^c} \sigma \nabla \psi_k \cdot \nabla \psi_i d\Omega, k, i = \overline{1, N_Y} \right\};$$

$$\mathbf{E} = \left\{ \sum_{k, l \neq 1, 0} \int_{S^{k,l}} \psi_i (\sigma_k - \sigma_l) \mathbf{E}_n \cdot \mathbf{n}_{k,l} dS, i = \overline{1, N_Y} \right\}^T;$$

$$\mathbf{F}(\Phi, \mathbf{U}) = \left\{ \int_{\Omega^c} (\sigma - \sigma_1) \mathbf{E}_n \cdot \mathbf{N}_i d\Omega - \sum_{l=1}^{N_Y} u_l \int_{\Omega^c} \sigma \nabla \psi_l \cdot \mathbf{N}_i d\Omega - \right.$$



$$\left. - \sum_{k=1}^{N_Q} f_k \int_{\Gamma_3} \nabla \varphi_k \times \mathbf{n}_{1,0} \cdot \mathbf{N}_i dS, i = \overline{1, N_X} \right\}^T;$$

$$\mathbf{G}(\mathbf{A}) = \left\{ - \sum_{j=1}^{N_X} a_j \int_{\Gamma_3} \varphi_k \operatorname{rot} \mathbf{N}_j \cdot \mathbf{n}_{1,0} dS, k = \overline{1, N_Q} \right\}^T.$$

Введем временную сетку  $\{t_n, n = 0, \dots\}$ . Допускаем, что сетка может быть неравномерной. Обозначим шаги  $\tau_n = t_n - t_{n-1}$ ,  $n = 1, \dots$ , и середины интервалов  $t_{n-1/2} = (t_n + t_{n-1})/2$ ,  $n = 1, \dots$ . Верхние индексы искомых векторов  $\mathbf{A}^n$ ,  $\Phi^{n-1/2}$  соответствуют номеру шага по времени. Предполагаем, что векторы  $\mathbf{A}^0$  и  $\Phi^0$  заданы из начальных условий. Скалярный магнитный потенциал  $\Phi^{1/2}$  в непроводящей среде можно вычислить по следующей схеме:

$$\begin{cases}
\mathbf{L}\mathbf{U}^0 = \mathbf{E}^0, \\
\mathbf{A} \frac{\mathbf{A}^1 + \mathbf{A}^0}{2} + \mathbf{M} \frac{\mathbf{A}^1 - \mathbf{A}^0}{\tau_1} - \mathbf{B}^T \mathbf{P}^{1/2} = \mathbf{F}(\Phi^0, \mathbf{U}^0), \\
-\mathbf{B}\mathbf{A}^1 = \mathbf{0},
\end{cases}$$

$$\mathbf{C}\Phi^1 = \mathbf{G}(\mathbf{A}^1), \quad \Phi^{1/2} = \frac{\Phi^1 + \Phi^0}{2}.$$

Далее используется регулярная схема Кранка – Николсона, начиная с шага  $n = 1, \dots$ :

$$\begin{cases}
\mathbf{L}\mathbf{U}^{n-1/2} = \mathbf{E}^{n-1/2}, \\
\mathbf{A} \frac{\mathbf{A}^n + \mathbf{A}^{n-1}}{2} + \mathbf{M} \frac{\mathbf{A}^n - \mathbf{A}^{n-1}}{\tau_n} - \mathbf{B}^T \mathbf{P}^{n-1/2} = \mathbf{F}(\Phi^{n-1/2}, \mathbf{U}^{n-1/2}), \\
-\mathbf{B}\mathbf{A}^n = \mathbf{0},
\end{cases}$$

$$\mathbf{C}(\alpha_n \Phi^{n+1/2} + \beta_n \Phi^{n-1/2}) = \mathbf{G}(\mathbf{A}^n).$$

Здесь коэффициенты зависят от шагов времени:

$$\alpha_n = \tau_n / (\tau_n + \tau_{n+1}); \quad \beta_n = 1 - \alpha_n.$$

Таким образом, при переходе от шага  $n - 1$  к шагу  $n$  решаются две скалярные системы уравнений для электрического потенциала в проводящей среде и скалярного магнитного потенциала в воздухе. Из системы уравнений с седловой точкой определяются векторный магнитный потенциал и множитель Лагранжа в проводящей среде. Решение скалярных систем уравнений осуществляется предобусловленным методом сопряженных градиентов. Система уравнений с седловой точкой решается итерационным методом, предложенным в работе [7]. Критерием останова итерационных методов служит от-

ношение сферической нормы вектора невязки к сферической норме вектора правой части.

**Пример численного расчета.** Основные вычислительные усилия направлены на нахождение векторного магнитного потенциала и множителя Лагранжа в проводящей среде. Приведем пример, характеризующий чувствительность алгоритма к наличию неоднородностей в проводящей среде. Для этого рассмотрим область, составленную из двух горизонтальных проводящих слоев с проводимостями  $\sigma_1 = 3,2$  См/м и  $\sigma_2 = 0,5$  См/м. Высота каждого слоя равна 3000 м. Нижняя среда имеет включение в виде параллелепипеда размером  $250 \times 1000 \times 500$  м с контрастной проводимостью  $\sigma_3 = 0,01$  См/м. Горизонтальные размеры слоев составляют  $6000 \times 6000$  м. Общие размеры расчетной области выбраны таким образом, чтобы ошибки в условиях на внешних границах оказывали минимальное влияние на анализ полей внутри области. Источник находится в верхней среде, выше второго слоя на 500 м. Длина электрической линии 500 м. В начальный момент времени ток источника  $I^{CT} = 50$  А. Триангуляция расчетной области содержит 70000 ребер и 10000 вершин. Решение систем уравнений итерационными методами на каждом временном шаге осуществляется при  $\epsilon = 10^{-10}$ . Используется неравномерная сетка по времени. Общий временной интервал интегрирования системы уравнений  $T = 100$  с, общее количество временных шагов 200. Измерения электрического поля производятся на границе двух проводящих слоев, т. е. в вертикальной плоскости источника на расстоянии 1000 м от проекции центра электрической линии на границу раздела сред. Y-компонента электрического поля в момент времени  $T = 10$  с изображена на рис. 1.

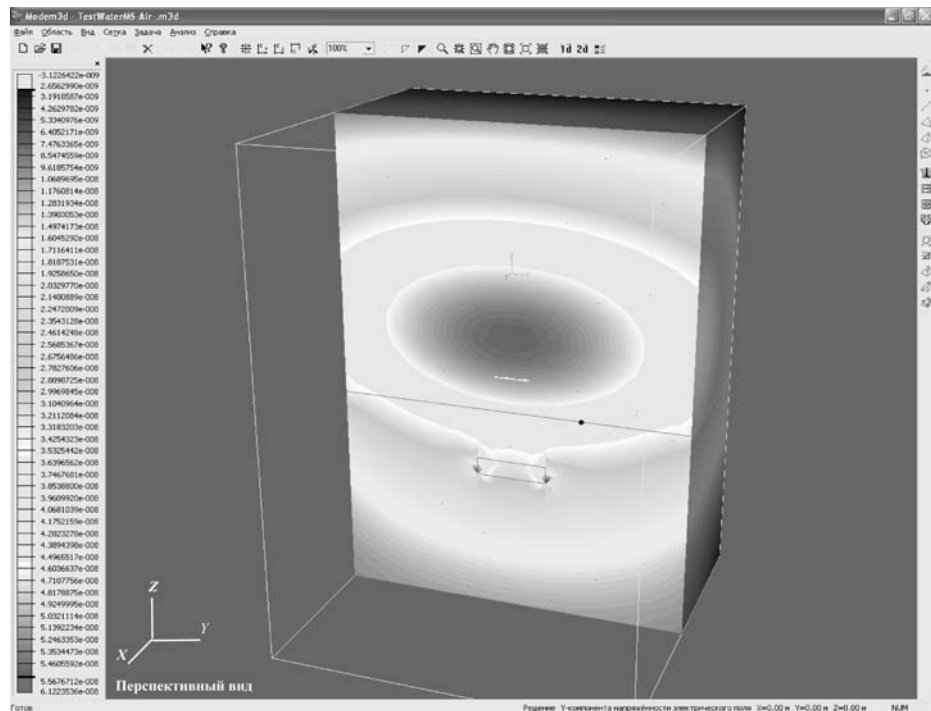


Рис. 1

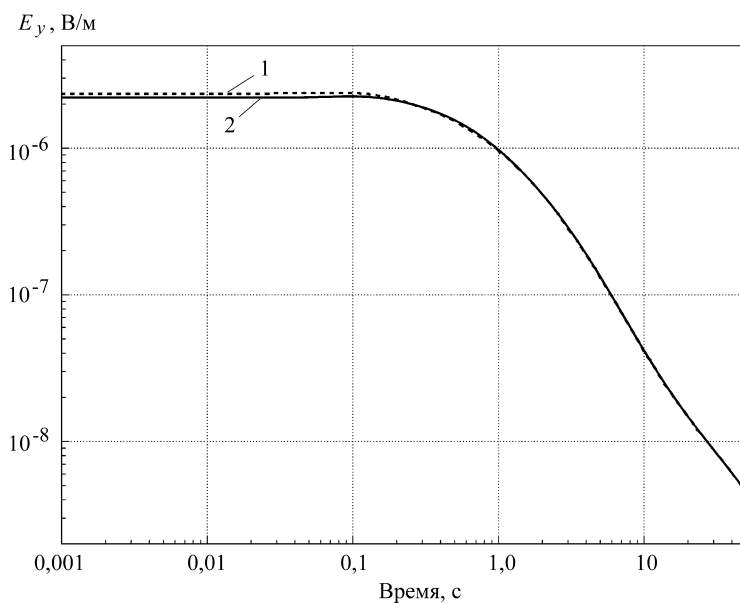


Рис. 2

Область представлена в разрезе вертикальной плоскостью, проходящей через источник. На рисунке различные оттенки соответствуют различным значениям  $Y$ -компоненты электрического поля, что показано в левой части. Сплошные линии – границы раздела проводящих сред. Источник изображен отрезком белого цвета, приемник – черной точкой на границе раздела сред. Ориентация координатных осей приведена в левой нижней части рисунка. Нарушение однородности электрического поля происходит на границе подобласти с контрастной проводимостью. Зависимости  $Y$ -компонент электрического поля от времени в точке измерения представлены на рис. 2 (сплошная линия). Пунктирная линия соответствует случаю включения без контраста:  $\sigma_3 = \sigma_2$ . В начальный период времени уровень сигнала в точке измерения почти не меняется и относительная разность между кривыми составляет около 6,5 %. Далее уровень сигнала падает. В момент времени  $T = 85$  с происходит падение уровня сигнала на три порядка.

**Заключение.** Введение нестандартного калибровочного условия для векторного магнитного потенциала позволило выделить из общей системы уравнений задачу для скалярного электрического потенциала. Основной особенностью предложенного подхода является включение в постановку задачи множителей Лагранжа, что дало возможность удовлетворить как дивергентное свойство векторного потенциала на каждом временном шаге, так и обеспечить устойчивость счета на поздних временах (см. рис. 2). Заметим, что в рамках предложенного подхода класс источников полей может быть расширен. Это обусловлено возможностью аналитического задания поля источника в однородном полупространстве.

#### СПИСОК ЛИТЕРАТУРЫ

1. Иванов М. И., Катешов В. А., Кремер И. А., Урев М. В. Решение трехмерных стационарных задач импульсной электроразведки // Автометрия. 2007. 43, № 2. С. 22.

2. **Соловейчик Ю. Г., Рояк М. Э.** Совместное использование узловых и векторных конечных элементов для расчета трехмерных нестационарных электромагнитных полей // Сиб. журн. индустр. математики. 2004. 7, № 3. С. 132.
3. **Nedelec J. C.** Mixed finite elements in  $R^3$  // Numer. Math. 1980. 35. P. 315.
4. **Nedelec J. C.** A new family of mixed finite elements in  $R^3$  // Numer. Math. 1986. 50. P. 57.
5. **Дюво Г., Лионс Ж.-Л.** Неравенства в механике и физике. М.: Наука, 1980.
6. **Тихонов А. Н., Самарский А. А.** Уравнения математической физики. М.: Наука, 1972.
7. **Greif C., Schotzau D.** Preconditioners for the discretized time-harmonic Maxwell equations in mixed form // <http://www.cs.ubc.ca/~greif/Papers/gS2006NLAA.pdf>

*Поступила в редакцию 3 ноября 2006 г.*

---